

لَهُ الْحِلْةُ وَالْمُخْرَجُ



سمه تعالی

## تاییدیه اعضای هیات داوران حاضر در جلسه دفاع از پایان نامه

خانم لیلا سرخی پایان نامه ۶ واحدی خود را با عنوان رسوب نشانی الکتروفورتیک  
نانو کامپوزیت هیدروکسی آپاتیت  $TiO_2/chitosan$  بر روی فولاد زنگ نزن  
در تاریخ ۱۳۹۰/۱۱/۱۵ ارائه کردند.

اعضای هیات داوران نسخه نهایی این پایان نامه را از نظر فرم و محتوا تایید کرده و  
پذیرش آنرا برای تکمیل درجه کارشناسی ارشد مهندسی مواد - خوردگی پیشنهاد می  
کنند.

عضو هیات داوران	نام و نام خانوادگی	رتبه علمی	امضا
استاد راهنما	دکتر تقی شهرابی فراهانی	دانشیار	
استاد مشاور	دکتر علیرضا صبور روح اقدم	دانشیار	
استاد ناظر	دکتر پروین علیزاده	دانشیار	
استاد ناظر	دکتر شاهرخ آهنگرانی	استادیار	
مدیر گروه (یا نماینده گروه تخصصی)	دکتر پروین علیزاده	دانشیار	

## آیین نامه چاپ پایان نامه های دانشجویان دانشگاه تربیت مدرس

نظر به اینکه چاپ و انتشار پایان نامه های تحصیلی دانشجویان دانشگاه تربیت مدرس، مبین بخشی از فعالیت های علمی - پژوهشی دانشگاه است، بنابراین به منظور آگاهی و رعایت حقوق دانشگاه، دانش آموختگان این دانشگاه نسبت به رعایت موارد ذیل متعهد می شوند:

**ماده ۱:** در صورت اقدام به چاپ پایان نامه خود، مراتب را قبلاً به طور کتبی به "دفتر نشر آثار علمی" دانشگاه اطلاع دهد.

**ماده ۲:** در صفحه سوم کتاب (پس از برگ شناسنامه) عبارت ذیل را چاپ کند:

"کتاب حاضر، حاصل پایان نامه کارشناسی ارشد لیلا سرخی در رشته مهندسی مواد - خوردگی و حفاظت مواد است که در سال ۱۳۹۰ در دانشکده فنی و مهندسی دانشگاه تربیت مدرس به راهنمایی جناب آقای دکتر تقی شهرابی فراهانی و مشاوره جناب آقای دکتر علیرضا صبور روح اقدم از آن دفاع شده است".

**ماده ۳:** به منظور جبران بخشی از هزینه های انتشارات دانشگاه، تعداد یک درصد شمارگان کتاب (در هر نوبت چاپ) را به "دفتر نشر آثار علمی" دانشگاه اهدا کند. دانشگاه می تواند مازاد نیاز خود را به نفع مرکز نشر در معرض فروش قرار دهد.

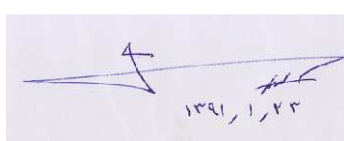
**ماده ۴:** در صورت عدم رعایت ماده ۳، ۰.۵٪ بهای شمارگان چاپ شده را به عنوان خسارت به دانشگاه تربیت مدرس، تأديه کند.

**ماده ۵:** دانشجو تعهد و قبول می کند در صورت خودداری از پرداخت بهای خسارت، دانشگاه می تواند خسارت مذکور را از طریق مراجع قضایی مطالبه و وصول کند؛ به علاوه به دانشگاه حق می دهد به منظور استیفای حقوق خود، از طریق دادگاه، معادل وجه مذکور در ماده ۴ را از محل توقيف کتابهای عرضه شده نگارنده برای فروش، تامین نماید.

**ماده ۶:** اینجانب لیلا سرخی دانشجوی رشته مهندسی مواد - خوردگی و حفاظت مواد مقطع کارشناسی ارشد تعهد فوق وضمانت اجرایی آن را قبول کرده، به آن ملتزم می شوم.

نام و نام خانوادگی: لیلا سرخی

تاریخ و امضا:



لیلا سرخی  
۱۳۹۱/۱/۲۳

## دستور العمل حق مالکیت مادی و معنوی در مورد نتایج پژوهش‌های علمی دانشگاه تربیت مدرس

مقدمه: با عنایت به سیاست های پژوهشی دانشگاه در راستای تحقق عدالت و کرامت انسانها که لازمه شکوفایی علمی و فنی است و رعایت حقوق مادی و معنوی دانشگاه و پژوهشگران لازم است اعضای هیات علمی دانشجویان دانش آموختگان و دیگر همکاران طرح درمورد نتایج پژوهش‌های علمی که تحت عنوانین پایان نامه وساله و طرحهای تحقیقاتی با هماهنگی دانشگاه انجام شده است موارد ذیل را رعایت نمایید:

ماده ۱: حقوق مادی و معنوی پایان نامه‌ها / رساله های مصوب دانشگاه متعلق به دانشگاه است و هر گونه بهره‌برداری از آن باید با ذکر نام دانشگاه و رعایت آیین‌نامه‌ها و دستورالعمل‌های مصوب دانشگاه باشد.

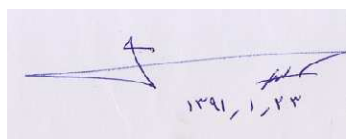
ماده ۲- انتشار مقاله یا مقالات مستخرج از پایان نامه/ رساله به صورت چاپ در نشریات علمی و یا ارائه در مجتمع علمی می‌باید به نام دانشگاه بوده و استاد راهنمای نویسنده مسئول مقاله باشند.

تبصره: در مقالاتی که پس از دانش آموختگی بصورت ترکیبی از اطلاعات جدید و نتایج حاصل از پایان‌نامه/ رساله نیز منتشر می‌شود نیز باید نام دانشگاه درج شود.

ماده ۳- انتشار کتاب حاصل از نتایج پایان‌نامه/ رساله و تمامی طرحهای تحقیقاتی دانشگاه باید با مجوز کتبی صادره از طریق حوزه پژوهشی دانشگاه و بر اساس آیین‌نامه‌های مصوب انجام می‌شود.

ماده ۴- ثبت اختراع و تدوین دانش فنی و یا ارائه در جشنواره‌های ملی، منطقه‌ای و بین‌المللی که حاصل نتایج مستخرج از پایان‌نامه/ رساله و تمامی طرح‌های تحقیقاتی دانشگاه باید با هماهنگی استاد راهنمای یا مجری طرح از طریق حوزه پژوهشی دانشگاه انجام گیرد.

ماده ۵- این دستورالعمل در ۵ ماده و یک تبصره در تاریخ ۱۳۸۴/۴/۲۵ در شورای پژوهشی دانشگاه به تصویب رسیده و از تاریخ تصویب لازم الاجرا است و هر گونه تخلف از مفاد این دستورالعمل، از طریق مراجع قانونی قابل پیگیری خواهد بود.





دانشگاه تربیت مدرس

دانشکده فنی و مهندسی

### پایان نامه کارشناسی ارشد مهندسی مواد - خورده‌گی و حفاظت از مواد

رسوب نشانی الکتروفورتیک نانو کامپوزیت هیدروکسی آپاتیت/ $TiO_2$ /chitosan بر روی  
فولاد زنگ نزن L۳۱۶

لیلا سرخی

استاد راهنمای:

دکتر تقی شهرابی فراهانی

استاد مشاور:

دکتر علیرضا صبور روح اقدم

۱۳۹۰

تقطیع به

مادر مهر بانج

فسر عزیز

و

خواهر نازنین

## تشکر و قدردانی

با امتنان از خداوند متعال در ابتدا بر خود لازم می‌دانم که از زحمات استاد گرانقدر جناب آقای دکتر شهرابی فراهانی که در تمام مدت انجام این پژوهش همواره مرا از راهنمایی‌های ارزشمندانه بسیار نمودند، سپاسگزاری نمایم. همچنین از استاد گرامی جناب آقای دکتر صبور روح اقدام نهایت تشکر و قدردانی را دارم. از جناب آقای مهندس مرتضی فرخی راد که در تمام مدت انجام این کار همواره از تجارت‌دانش استفاده نمودم نهایت تشکر و قدردانی را دارم. در نهایت از آقای مهندس نصیری و تمامی دوستانم در آزمایشگاه خورددگی فلزات سپاسگزارم. همچنین از خانواده‌ی عزیزم که در تمام مراحل زندگی با حمایت‌هایشان در کنار من بودند، نهایت تشکر را دارم.

## چکیده

در این پژوهش ابتدا پودر هیدروکسی آپاتیت با روش شیمیایی با ابعاد  $30 \pm 5\text{ nm}$  سنتز شد. سپس پوشش تک جزئی چیتوسان با استفاده از الکل‌های مختلف با غلظت  $1/5\text{ g/l}$  چیتوسان ایجاد شد. برای ساخت محلول‌های تک جزئی چیتوسان، چیتوسان به همراه اسید استیک در مخلوط الکل و آب با مقادیر مختلف آب ( $10, 15, 20, 50, 75$  و  $100\%$ ) حل شد. پوشش‌های بدست آمده از لحاظ وزن، میکروساختار، چسبندگی و مقاومت به خوردگی بررسی شده و مقدار آب بهینه در هر الکل تعیین شد که برای متانول، اتانول و پروپانول به ترتیب  $5, 15$  و  $20\%$  بدست آمد.

سپس پوشش‌های دو جزئی هیدروکسی آپاتیت- چیتوسان با استفاده از سوسپانسیون‌های  $1/5\text{ g/l}$  چیتوسان و  $1/10, 2/5$  و  $2/10\text{ g/l}$  HA با غلظت بهینه آب در سه الکل فوق و در ولتاژ  $20\text{ V}$  ولت و در زمان‌های مختلف ایجاد شدند، در این ولتاژ از سوسپانسیون‌های ایزوپروپانول پوشش تشکیل نشد به همین دلیل در مرحله بعدی پوشش نانو کامپوزیتی هیدروکسی آپاتیت- چیتوسان- اکسید تیتانیوم فقط با استفاده از سوسپانسیون‌های اتانول و متانول با غلظت‌های تیتانیای  $1/5, 2/10$  و  $5/10\text{ g/l}$  HA با غلظت  $1/10\text{ g/l}$  تیتانیای  $1/5, 2/10$  و  $5/10\text{ g/l}$  HA در ولتاژ  $20\text{ V}$  و زمان‌های مختلف بر روی زیر لایه فولاد زنگ نزن ایجاد شد.

## کلید واژه:

الکتروفورتیک، نانو کامپوزیت، هیدروکسی آپاتیت، چیتوسان

## فهرست مطالب

### صفحه

### عنوان

ج.....	فهرست جداولها
د.....	فهرست شکلها
۱.....	<b>فصل ۱ - مقدمه</b>
۱.....	۱-۱ - مقدمه
۳.....	<b>فصل ۲ - مروری بر منابع</b>
۳.....	۱-۲ - مقدمه
۴.....	۲-۲ - رسوب نشانی الکتروفورتیک (EPD)
۵.....	۱-۲-۲ - سیتیک رسوب نشانی الکتروفورتیک
۶.....	۲-۲-۲ - عوامل مؤثر بر EPD
۱۲.....	۳-۲ - هیدروکسی آپاتیت
۱۲.....	۱-۳-۲ - خواص فیزیکی و مکانیکی هیدروکسی آپاتیت
۱۳.....	۲-۳-۲ - تولید هیدروکسی آپاتیت
۱۸.....	۴-۲ - چیتوسان
۲۲.....	۵-۲ - پوشش‌های دو جزئی هیدروکسی آپاتیت - چیتوسان
۲۲.....	۱-۵-۲ - پوشش‌های دو جزئی هیدروکسی آپاتیت - چیتوسان
۲۸.....	۲-۵-۲ - پوشش‌های دو جزئی هیدروکسی آپاتیت - تیتانیا
۲۹.....	۶-۲ - پوشش‌های سه جزئی
۳۴.....	<b>فصل ۳ - روش انجام پژوهش</b>
۳۴.....	۱-۳ - مقدمه
۳۴.....	۲-۳ - سنتز هیدروکسی آپاتیت
۳۵.....	۳-۳ - پوشش‌دهی چیتوسان
۳۸.....	۴-۳ - رسوب نشانی پوشش‌های نانو کامپوزیتی چیتوسان - هیدروکسی آپاتیت
۳۸.....	۱-۴-۳ - تهیه سوسپانسیون‌ها
۳۸.....	۲-۴-۳ - بررسی سوسپانسیون‌ها
۳۹.....	۳-۴-۳ - بررسی پوشش‌ها
۴۰.....	۴-۳ - رسوب نشانی کامپوزیت چیتوسان - هیدروکسی آپاتیت - تیتانیا
۴۰.....	۱-۵-۳ - تهیه سوسپانسیون

٤١	- رسوب نشانی الکتروفورتیک	٢-٥-٣
٤١	- بررسی پوشش‌ها	٣-٥-٣
٤٣	<b>فصل ٤ - نتایج و بحث</b>	
٤٣	- نتایج آنالیز پودر	٤-١
٤٣	XRD	- ١-١-٤
٤٣	تصاویر SEM	- ٢-١-٤
٤٤	طیف FTIR	- ٣-١-٤
٤٥	- پوشش‌دهی چیتوسان تک جزئی و تعیین آب بهینه	٤-٢
٤٥	بررسی محلول‌ها	- ١-٢-٤
٤٧	پوشش دهی	- ٢-٢-٤
٥٦	خواص پوشش‌ها	- ٣-٢-٤
٦١	تعیین درصد آب بهینه	- ٤-٢-٤
٦٢	- رسوب نشانی کامپوزیت چیتوسان - هیدروکسی آپاتیت	٤-٣-٣
٦٢	بررسی سوپیانسیون‌ها	- ١-٣-٤
٦٥	رسوب نشانی الکتروفورتیک پوشش‌ها	- ٢-٣-٤
٦٩	بررسی پوشش‌ها	- ٣-٣-٤
٧٢	- رسوب نشانی کامپوزیت چیتوسان- هیدروکسی آپاتیت- $TiO_2$	٤-٤
٧٢	جریان پوشش دهی	- ٤-٤-٤
٧٣	سیتیک پوشش دهی	- ٢-٤-٤
٧٥	بررسی ریزساختار پوشش‌ها	- ٣-٤-٤
٧٩	تصاویر SEM	- ٤-٤-٤
٨٢	آنالیز FTIR	- ٥-٤-٤
٨٣	تست خوردگی	- ٦-٤-٤
٨٧	<b>فصل ٥ - نتیجه گیری</b>	
٨٧	- نتیجه گیری	- ١-٥
٨٧	- پیشنهادات	- ٢-٥

فهرست مراجع

## فهرست جداول‌ها

عنوان	صفحه
جدول ۲-۱ - خواص فیزیکی و مکانیکی هیدروکسی آپاتیت [۱۵]	۱۳
جدول ۳-۱ - مواد مورد نیاز برای تهییه ۱۰۰۰ میلیلیتر SBF [۳۹]	۳۷
جدول ۳-۲ - غلظت HA و تیتانیا در سوسپانسیون‌های سه جزئی	۴۱

## فهرست شکل‌ها

### صفحه

### عنوان

شکل ۲-۱ - سل دو الکترودی که حرکت ذرات با بار مثبت به سمت کاتد را نشان می‌دهد [۵].....	۵
شکل ۲-۲ - رابطه بین ضخامت و زمان رسوب نشانی پوشش ZnO بر روی الکترود مس در ولتاژهای اعمالی مختلف [۸].....	۱۰
شکل ۲-۳ - دانسیته جریان بر حسب زمان رسوب نشانی HA در ولتاژهای مختلف (a) ۵۰V (b) ۱۰۰V (c) ۲۰۰V [۸].....	۱۰
شکل ۲-۴ - وزن رسوب ایجاد شده از HA بر روی زیرلایه Ti <sub>6</sub> Al <sub>4</sub> V بر حسب ولتاژ اعمالی در زمانهای مختلف (a) ۳۰ ثانیه (b) ۱۲۰ ثانیه [۸].....	۱۱
شکل ۲-۵ - پایداری دانسیته جریان در ان-پروپانول با در ولتاژهای اعمالی مختلف [۸].....	۱۲
شکل ۲-۶ - الگوهای xrd نano ذرات HA تولید شده با روش (a) اسید باز (b) استات کلسیم و (c) [۱] metathesis.....	۱۴
شکل ۲-۷ - طیف FTIR بلور هیدروکسی آپاتیت [۲۴].....	۱۶
شکل ۲-۸ - ساختار شیمیایی چیتوسان [۳۱].....	۱۸
شکل ۲-۹ - رسانایی و مویلیته محلول‌های رقیق چیتوسان به عنوان تابعی از pH در غلظت ۰/۰۸٪ حجمی [۲۹].....	۲۰
شکل ۲-۱۰ - تصاویر SEM فیلم چیتوسان تولید شده با میدان الکتریکی متفاوت (a) ۵ V/cm و (b) ۱۰ V/cm با زمان پوشش دهی ۷ دقیقه [۲۷].....	۲۱
شکل ۲-۱۱ - طیف FTIR چیتوسان خالص [۲۷].....	۲۲
شکل ۲-۱۲ - تصاویر SEM مقطع عرضی پوشش‌های HA-چیتوسان بر روی زیرلایه گرافیت از سوسپانسیون HA8g/L در مخلوط اتانول-۱۷٪ حجمی حاوی ۰/۵g/L چیتوسان در دانسیته جریان ۰/۱mA/cm <sup>2</sup> و زمان (a) ۳(b) ۵(c) ۳(d) ۷ دقیقه [۳].....	۲۴
شکل ۲-۱۳ - نتایج DTA (c,d) TG (a,b) برای چیتوسان اولیه (b,d) رسوب چیتوسان بدست آمده از محلول ۰/۵ g/L چیتوسان [۳].....	۲۶
شکل ۲-۱۴ - نتایج TG (a,b,c,d) و DTA (e,f,g,h) برای چیتوسان اولیه HA و رسوبات کامپوزیتی HA-چیتوسان بدست آمده از سوسپانسیون‌های ۰/۱g/L (b,f) ۰/۳g/L (c,g) ۰/۱g/L (d,h) ۰/۷g/L چیتوسان [۳].....	۲۶

..... شکل ۲-۱۵ - مقدار (a) HA و (b) چیتوسان در پوشش‌ها بر حسب مقادیر HA در سوسپانسیون‌های حاوی ۰/۵ g/L چیتوسان [۳۰] ..... ۲۷
..... شکل ۲-۱۶ - طیف FTIR پوشش‌های کامپوزیتی HA- چیتوسان، تهیه شده از سوسپانسیون L ۰/۵g/L چیتوسان حاوی ۱g/L HA در ولتاژ رسوب نشانی V [۳۶] ۲۰V ..... ۲۷
..... شکل ۲-۱۷ - تصاویر SEM (a,b) کامپوزیت چیتوسان-CaSiO <sub>3</sub> و (c,d) کامپوزیت چیتوسان-HA- با CaSiO <sub>3</sub> بر روی زیر لایه فولاد زنگ نزن، تهیه شده از سوسپانسیون L ۰/۳ g/L ۰/۵g/L چیتوسان، HA با ۰/۳ g/L ۰/۱g/L HA [۳۰] ..... ۳۲
..... شکل ۲-۱۸ - تصاویر SEM سطح رسوب‌های آماده شده از محلول ۰/۵ g/L چیتوسان حاوی (a) ۱g/L HA و (b) ۱g/L HA و ۱mM AgNO <sub>3</sub> [۳۸] ..... ۳۳
..... شکل ۳-۱ - فلوچارت مراحل کاری پروژه ..... ۴۲
..... شکل ۴-۱ - تصویر XRD پودر تولید شده ..... ۴۳
..... شکل ۴-۲ - تصویر SEM پودر سنتز شده ..... ۴۴
..... شکل ۴-۳ - طیف FTIR پودر بدست آمده ..... ۴۴
..... شکل ۴-۴ pH محلولهای L ۰/۵ چیتوسان در الکل‌های مختلف با مقدار آب متفاوت ..... ۴۵
..... شکل ۴-۵ - تغییرات هدایت محلول‌ها با مقدار آب موجود ..... ۴۶
..... شکل ۴-۶ - تأثیر نوع الکل بر جریان پوشش‌دهی در محلول‌های حاوی ۰٪ آب در ولتاژ ۶۰ ولت ..... ۴۷
..... شکل ۴-۷ - تأثیر ولتاژ بر جریان پوشش‌دهی چیتوسان از محلول ایزوپروپانول حاوی ۰٪ آب و ۰/۵ چیتوسان ..... ۴۸
..... شکل ۴-۸ - اثر مقدار آب موجود در محلول بر روی جریان پوشش‌دهی از محلول‌های اتانول ..... ۴۸
..... شکل ۴-۹ - اثر تغییر ولتاژ بر وزن پوشش‌های بدست آمده از محلول‌های متانول-۵٪ آب حاوی L ۰/۵ g/L چیتوسان ..... ۵۰
..... شکل ۴-۱۰ - اثر نوع الکل بر وزن پوشش‌های بدست آمده از محلول‌های ۰٪ آب در ۶۰ ولت ..... ۵۱
..... شکل ۴-۱۱ - اثر مقدار آب بر سیتیک پوشش‌دهی از محلول‌های L ۰/۵g/L ۰/۵g/L چیتوسان در ایزوپروپانول با مقادیر مختلف آب در ولتاژ ۲۰V ..... ۵۱
..... شکل ۴-۱۲ - اثر مقدار آب بر سیتیک پوشش‌دهی از محلول‌های L ۰/۵g/L ۰/۵g/L چیتوسان در متانول در ولتاژ ۲۰ ..... ۵۲
..... شکل ۴-۱۳ - اثر مقدار آب بر سیتیک پوشش‌دهی از محلول‌های L ۰/۵g/L ۰/۵g/L چیتوسان در اتانول در ولتاژ ۶۰ ..... ۵۳

- شكل ۴-۱۴- تغییر هدایت محلول‌های چیتوسان در متانول با درصدهای مختلف آب بدست آمده با هدایت سنج و با استفاده از مولتی متر ..... ۵۴
- شكل ۴-۱۵- تغییر هدایت محلول‌های چیتوسان در اتانول با درصدهای مختلف آب بدست آمده با هدایت سنج و با استفاده از مولتی متر ..... ۵۴
- شكل ۴-۱۶- تغییر هدایت محلول‌های چیتوسان در ایزوپروپانول با درصدهای مختلف آب بدست آمده با هدایت سنج و با استفاده از مولتی متر ..... ۵۴
- شكل ۴-۱۷- اثر افزایش درصد آب بر روی شکل ظاهری و میزان حباب‌ها در اتانول با ولتاژ ۶۰ ولت و زمان ۱۰ دقیقه (a) ۵۰ و (b) ۲۰ و (c) ۱۵ و (d) ۱۰ و (e) ۵ و (f) ۲ ..... آب ۷۵٪
- شكل ۴-۱۸- اثر نوع الكل بر میزان حباب‌ها در پوشش‌های بدست آمده از محلول حاوی ۷۵٪ آب در ولتاژ ۶۰ و زمان ۶ دقیقه (a) متانول (b) اتانول (c) پروپانول ..... آب ۷۵٪
- شكل ۴-۱۹- تأثیر ولتاژ اعمالی بر سطح پوشش‌های بدست آمده از محلول  $5\text{g/L}$  چیتوسان در متانول ..... آب ۷۵٪
- شكل ۴-۲۰- اثر مقدار آب بر چسبندگی پوشش‌های بدست آمده از اتانول در ۲۰ ولت و ۸ دقیقه (a) ۵ و (b) ۱۵ و (c) ۲۰ و (d) ۱۵ و (e) ۵ و (f) ۲ ..... آب ۵۰٪
- شكل ۴-۲۱- اثر مقدار آب بر چسبندگی پوشش‌های بدست آمده از ایزوپروپانول در ۲۰ ولت و ۸ دقیقه ..... ۵۸
- شكل ۴-۲۲- اثر مقدار آب بر چسبندگی پوشش‌های بدست آمده از متانول در ۲۰ ولت و ۸ دقیقه (a) ۵ و (b) ۱۵ و (c) ۲۰ و (d) ۱۵ و (e) ۵ و (f) ۲ ..... آب ۷۵٪
- شكل ۴-۲۳- اثر مقدار آب موجود در محلول پروپانولی بر مقاومت به خوردگی پوشش‌های تشکیل شده در ۲۰ ولت و ۱۰ دقیقه در محلول SBF و در دمای  $37^{\circ}\text{C}$  ..... ۵۹
- شكل ۴-۲۴- اثر مقدار آب در محلول اتانول حاوی  $5\text{g/L}$  چیتوسان بر مقاومت به خوردگی پوشش‌های تشکیل شده در ۲۰ ولت و ۱۰ دقیقه، در محلول SBF و در دمای  $37^{\circ}\text{C}$  ..... ۶۰
- شكل ۴-۲۵- اثر مقدار آب در محلول متانول حاوی  $5\text{g/L}$  چیتوسان بر مقاومت به خوردگی پوشش‌های تشکیل شده در ۶۰ ولت و ۱۰ دقیقه، در محلول SBF و در دمای  $37^{\circ}\text{C}$  ..... ۶۰
- شكل ۴-۲۶- تأثیر ولتاژ اعمالی بر مقاومت به خوردگی پوشش‌های بدست آمده از محلول متانول ..... آب حاوی  $5\text{g/L}$  چیتوسان در ۱۰ دقیقه، در محلول SBF در دمای  $37^{\circ}\text{C}$  ..... ۶۱
- شكل ۴-۲۷- طیف FTIR پودر جدا شده از سوسپانسیون‌های اتانول، متانول و ایزوپروپانول حاوی چیتوسان و  $10\text{g/L}$  HA ..... ۶۳
- شكل ۴-۲۸- آنالیز TG (a,b,c) و DTA (d,e,f) پودر ته نشین شده از سوسپانسیون‌های  $5\text{g/L}$  چیتوسان و  $10\text{g/L}$  HA در متانول (a,e), اتانول (b,f) و ایزوپروپانول (c,d) ..... ۶۳

- شكل ۴-۲۹- مقایسه جریان پوشش دهی از سوسپانسیون های چیتوسان در متانول ۱۵٪ آب با مقادیر مختلف HA ..... ۶۵
- شكل ۴-۳۰- مقایسه جریان پوشش دهی برای سوسپانسیون های چیتوسان در متانول ۵٪ آب با مقادیر مختلف HA ..... ۶۵
- شكل ۴-۳۱- تأثیر میزان HA بر وزن پوشش های بدست آمده از سوسپانسیون های متانول ۵٪ آب در ولتاژ ۲۰V ..... ۶۶
- شكل ۴-۳۲- تأثیر میزان HA بر وزن پوشش های بدست آمده از سوسپانسیون های متانول ۱۵٪ آب در ولتاژ ۲۰V ..... ۶۶
- شكل ۴-۳۳- آنالیز TG (a,b) و DTA (c,d) رسوب ایجاد شده از سوسپانسیون های ۰/۵g/L چیتوسان و HA در متانول و (a,d) اتانول ..... ۶۸
- شكل ۴-۳۴- تأثیر زمان بر سطح پوشش های بدست آمده از سوسپانسیون های ۰/۵g/L چیتوسان و HA در متانول (a) ۲(c) ۴(b) ۸(d) ۶(e) ۱۰ دقیقه ..... ۶۹
- شكل ۴-۳۵- تأثیر نوع حلال بر پوشش های بدست آمده از سوسپانسیون های ۰/۵g/L چیتوسان و HA در زمان ۴ دقیقه (a) اتانول-۱۵٪ آب (b) متانول-۵٪ آب ..... ۷۰
- شكل ۴-۳۶- اثر زمان بر مقاومت خوردگی پوشش های ایجاد شده در ولتاژ ۲۰V از سوسپانسیون های متانول حاوی HA ۱۰g/L در محلول SBF و در دمای ۳۷°C ..... ۷۱
- شكل ۴-۳۷- تأثیر غلظت HA بر مقاومت به خوردگی پوشش های اتانول ۰/۵g/L چیتوسان و HA در دمای ۳۷°C در محلول SBF ..... ۷۱
- شكل ۴-۳۸- تفاوت نوع الكل بر جریان پوشش دهی از سوسپانسیون های حاوی TiO<sub>2</sub> ۱۰g/L HA و ۵g/L ..... ۷۲
- شكل ۴-۳۹- تأثیر غلظت تیتانیا بر وزن پوشش های در سوسپانسیون های حاوی ۱۰g/L هیدروکسی آپاتیت الف) اتانول ب) متانول ..... ۷۳
- شكل ۴-۴۰- تأثیر غلظت تیتانیا بر وزن پوشش های در سوسپانسیون های حاوی ۵g/L هیدروکسی آپاتیت الف) اتانول ب) متانول ..... ۷۳
- شكل ۴-۴۱- تأثیر غلظت تیتانیا بر وزن پوشش های در سوسپانسیون های حاوی ۲g/L هیدروکسی آپاتیت الف) اتانول ب) متانول ..... ۷۴
- شكل ۴-۴۲- اثر زمان بر پوشش های ایجاد شده از سوسپانسیون ۰/۵g/L چیتوسان ۱۰g/L HA و ۱۰g/L تیتانیا در اتانول (a) ۳۰ ثانیه (b) ۲۰(c) ۴(d) ۶(e) ۸(f) ۱۰ دقیقه ..... ۷۶
- شكل ۴-۴۳- اثر زمان بر پوشش های ایجاد شده از سوسپانسیون ۰/۵g/L چیتوسان ۱۰g/L HA و ۵g/L تیتانیا در اتانول (a) ۳۰ ثانیه (b) ۲۰(c) ۴(d) ۶(e) ۸(f) ۱۰ دقیقه ..... ۷۷

- شکل ۴-۴۴- اثر زمان بر پوشش‌های ایجاد شده از سوسپانسیون HA<sub>10</sub>g/L و HA<sub>5</sub>g/L ۲ g/L ..... تیتانیا در اتانول (a) ۳۰ ثانیه (b) ۶(d) ۴(c) ۸(e) و f) ۱۰ دقیقه ۷۸
- شکل ۴-۴۵- اثر زمان بر سطح ظاهری پوشش‌های اتانول حاوی HA<sub>10</sub>g/L و HA<sub>5</sub>g/L ۱۰ g/L ..... تیتانیا (a) ۳۰ ثانیه (b) ۶(d) ۴(c) ۸(e) و f) ۱۰ دقیقه ۷۸
- شکل ۴-۴۶- اثر نوع الکل بر سطح پوشش و ترک‌ها در پوشش‌های بدست آمده از سوسپانسیون چیتوسان حاوی HA<sub>10</sub>g/l و TiO<sub>2</sub> ۲g/l در زمان پوشش‌دهی ۲ دقیقه (a) اتانول (b) مтанول ۷۹
- شکل ۴-۴۷- تصاویر SEM پوشش‌های ایجاد شده از سوسپانسیون‌های اتانول حاوی چیتوسان ۵g/L و ۱۰ g/L HA ..... با غلظت تیتانیای (a) ۰(b) ۵(c) ۲(d) ۱۰ g/L ۸۰
- شکل ۴-۴۸- تصاویر SEM پوشش‌های ایجاد شده از سوسپانسیون‌های اتانول حاوی چیتوسان ۵g/L و ۱۰ g/L HA ..... تیتانیای ۵ با غلظت ۸۱
- شکل ۴-۴۹- تصاویر SEM پوشش‌های بدست آمده از سوسپانسیون‌های حاوی HA<sub>5</sub>g/L و HA<sub>10</sub>g/L ..... تیتانیا در الکل‌های مختلف (a) مтанول (b) اتانول ۸۲
- شکل ۴-۵۰- طیف FTIR پوشش تشکیل شده از سوسپانسیون سه جزئی ۸۳
- شکل ۴-۵۱- اثر افزایش غلظت تیتانیا بر مقاومت خوردگی پوشش‌های بدست آمده از سوسپانسیون‌های اتانول حاوی HA<sub>10</sub>g/L و HA<sub>5</sub>g/L ۰ چیتوسان در محلول SBF و در دمای ۳۷ °C ۸۴
- شکل ۴-۵۲- اثر افزایش غلظت تیتانیا بر مقاومت خوردگی در محلول SBF و در دمای ۳۷ °C برای پوشش‌های بدست آمده از سوسپانسیون‌های HA<sub>10</sub>g/L ۸۴
- شکل ۴-۵۳- اثر غلظت HA بر مقاومت خوردگی در محلول SBF و در دمای ۳۷ °C پوشش‌های بدست آمده از سوسپانسیون‌های مтанول حاوی HA<sub>5</sub>g/L ۰ چیتوسان، HA<sub>10</sub>g/L ۲ تیتانیا و مقادیر مختلف ۸۵
- شکل ۴-۵۴- اثر زمان بر روی مقاومت خوردگی پوشش‌های بدست آمده از سوسپانسیون‌های HA<sub>10</sub>g/L و HA<sub>5</sub>g/L ۲ تیتانیا، در محلول SBF و در دمای ۳۷ °C ۸۵

## فصل ۱ - مقدمه

### ۱-۱ - مقدمه

هیدروکسی آپاتیت<sup>۱</sup> ( $\text{Ca}_{10}(\text{PO}_4)_6(\text{OH})_2(\text{HA})$ ) مهم‌ترین جزء معدنی استخوان است که به دلیل شباهت ترکیب شیمیایی فرم مصنوعی آن با ترکیب معدنی استخوان، زیست سازگاری، زیست فعالی و توانایی پیوند مناسب با استخوان ماده‌ای مهم برای ایمپلنت‌های زیست پزشکی و دندان پزشکی می‌باشد. همچنین این ماده در بسیاری صنایع مانند ستون‌های مایع کروماتوگرافی، تقویت کاتالیست، مواد رنگی، حامل‌های پودری، سنسورهای شیمیایی، رساناهاهای یون و کندکننده‌های سلول‌های سرطانی و غیره هم کاربرد دارد. ولی با توجه به اینکه HA دارای خواص مکانیکی ضعیفی است، برای کاربردهایی که نیازمند بارگذاری بالا هستند، مناسب نمی‌باشد. محدودیت‌های دیگر این ماده استحکام کششی ضعیف، مقاومت به خستگی کم، ناهماهنگی مدول الاستیک می‌باشد. یکی از راههای غلبه بر این موضوع ایجاد پوشش هیدروکسی آپاتیت بر روی سطح ایمپلنت‌های فلزی می‌باشد. ایمپلنت‌های پوشش داده با HA، مجموعه‌ای از خواص مکانیکی بالای فلز و زیست سازگاری<sup>۲</sup> و زیست فعالی<sup>۳</sup> بالای HA را داشته و برای کاربرد در ایمپلنت‌های تحت بار مناسب می‌باشد [۱، ۲، ۳، ۴].

هیدروکسی آپاتیت با روش‌های مختلفی نظیر سل ژل، هیدروترمال و روش شیمیایی تر تولید می‌شود. در بین این روش‌ها، روش شیمی تر، روشی سریع و ارزان قیمت است و پودر حاصل از این روش با ابعاد نانو می‌باشد. یکی از مهم‌ترین روش‌های تولید پوشش HA بر روی ایمپلنت‌ها، روش رسوب نشانی الکتروفورتیک است. این روش به علت تجهیزات ساده و ارزان قیمت و قابلیت پوشش دهنی اجسام با اشکال پیچیده، گستردگی فراوانی دارد. در این روش با کنترل پارامترهای مختلف نظیر زمان، ولتاژ اعمالی، فاصله بین الکترودها و پارامترهای مربوط به سوسپانسیون نظیر ویسکوزیته و پتانسیل ذرات می‌توان کیفیت پوشش‌های مورد نظر را تغییر داد [۵ و ۶].

<sup>1</sup> Hydroxy apatite

<sup>2</sup> biocompatible

<sup>3</sup> bioactivite

امروزه به منظور بهبود خواص هیدرولوکسی آپاتیت از پوشش‌های کامپوزیتی HA بر روی ایمپلنت‌ها استفاده می‌شود. ولی باستی توجه شود که مواد مورد استفاده در کامپوزیت اثر منفی بر خواص بیولوژیکی و زیست سازگاری HA نداشته باشند. در بسیاری از موارد به دلیل زیست فعالی ضعیف و یا خشی فازهای تقویت کننده، پوشش‌های نانو کامپوزیتی هیدرولوکسی آپاتیت خواص بیولوژیکی بسیار پایین‌تری نسبت به پوشش‌های غیرکامپوزیتی دارا می‌باشند. به دلیل خواص بیولوژیکی بسیار مطلوب اکسید تیتانیم و مقاومت به خوردگی بالای این ماده در محیط فیزیولوژیک، امروزه ساخت پوشش‌های کامپوزیتی هیدرولوکسی آپاتیت- اکسید تیتانیم رو به افزایش می‌باشد. به منظور افزایش چسبندگی پوشش‌های الکتروفورتیک هیدرولوکسی آپاتیتی، این پوشش‌ها در دمای بالا سیتر می‌شوند؛ اما به دلیل اختلاف ضریب انبساط حرارتی پوشش و زیرلايه، سیترینیگ منجر به افزایش ترک‌های سطحی می‌شود. یکی از روش‌های افزایش چسبندگی پوشش‌ها استفاده از مواد پلیمری است، که مزیت کارکرد در دمای محیط را به همراه داشته و از ترک خوردن سطح جلوگیری می‌شود. توجهات زیادی بر تولید پوشش‌های کامپوزیتی هیدرولوکسی آپاتیت - چیتوسان شده است [۳ و ۷].

در این پژوهش به منظور تولید پوششی با خواص مکانیکی و مقاومت به خوردگی بالا و خواص زیستی مطلوب از روش الکتروفورتیک برای تولید پوشش نانو کامپوزیتی هیدرولوکسی آپاتیت- چیتوسان و نانوکامپوزیت هیدرولوکسی آپاتیت- چیتوسان-  $TiO_2$  بر روی زیر لایه‌ی فولاد زنگ نزن ۳۱۶L استفاده شد. همچنین به منظور بررسی اثر آب بر روی پوشش دهی چیتوسان از الكل‌های مختلف ابتدا پوشش‌های چیتوسان در الكل‌های با مقادیر آب مختلف با روش الکتروفورتیک انجام شد. پودر هیدرولوکسی آپاتیت استفاده شده در این پژوهش با استفاده از روش شیمیایی تر سنتز گردید.

## فصل ۲ - مروری بر منابع

### ۱-۱- مقدمه

هیدروکسی آپاتیت (HA) یکی از مهم‌ترین موادی است که در ساخت ایمپلنت‌های پزشکی و دندان‌پزشکی استفاده می‌شود. به منظور بهبود خواص مکانیکی این ماده از پوشش دهی آن بر روی زیرلایه فلزی استفاده می‌شود. برای افزایش استحکام چسبندگی آن به زیرلایه فلزی از برخی مواد پلیمری نظری چیتوسان<sup>۱</sup> استفاده می‌گردد. این پوشش‌ها با روش‌های مختلفی نظیر سل ژل، غوطه‌وری ، اسپری پلاسمایی، لیزر پالسی و غیره ایجاد شده‌اند. یکی از مهم‌ترین و مؤثرترین روش‌ها برای پوشش دهی HA روش رسوب نشانی الکتروفورتیک<sup>۲</sup> (EPD) می‌باشد که در موارد بسیاری از این روش استفاده شده است. به دلیل مزایای این روش نظیر سادگی و ارزانی دستگاه‌های آن و همچنین قابلیت تشکیل پوشش بر روی زمینه با اشکال پیچیده، استفاده از این روش گسترش یافت. در این روش با کترل پارامترهای موثر مانند زمان و ولتاژ اعمالی می‌توان کیفیت پوشش حاصله را تغییر داد.

برای بهبود خواص مکانیکی پوشش‌های ایجاد شده روی ایمپلنت‌ها از کامپوزیت HA با دیگر مواد معدنی نظیر اکسید سیلیسیم ( $\text{SiO}_2$ )، اکسید تیتانیوم ( $\text{TiO}_2$ ) و غیره استفاده شده است. به عنوان مثال برای بهبود چسبندگی سطح و جلوگیری از ایجاد ترک روی پوشش و جدایش پوشش از زیرلایه، از سینترینگ استفاده می‌شده است که مشکلات کار در دمای بالا نظیر تغییر فاز زمینه و اکسیداسیون فلز را به همراه داشت. امروزه برای ایجاد چسبندگی از کامپوزیت HA- پلیمر استفاده می‌شود که مزیت دمای پایین کاری را به همراه دارد.

<sup>1</sup> chitosan

<sup>2</sup> Electrophoretic deposition

## ۲-۲-رسوب نشانی الکتروفورتیک (EPD)

روش‌های بسیاری مانند غوطه‌وری<sup>۱</sup>، پوشش دهی سل ژل، پاشش یون<sup>۲</sup>، رسوب نشانی لیزر پالسی، رسوب دهی الکتروشیمیایی، پاشش پلاسمایی و رسوب نشانی الکتروفورتیک و غیره برای تولید پوشش HA بر روی ایمپلنت‌های فلزی وجود دارد[۱۰۵]. به علت سادگی و تنوع، پاشش پلاسمایی تنها پروسه تجاری برای تولید پوشش‌های HA بر سطح ایمپلنت‌های فلزی می‌باشد. گرچه، پایداری طولانی مدت پوشش‌های پاشش پلاسمایی به خاطر درجه بالای تخلخل، استحکام پیوند ضعیف، حضور مقدار کمی فاز آمورف با ترکیب غیراستوکیومتری و غیر یکنواختی مشکل می‌باشد و از این نظر روش‌های دیگر تولید ارجح می‌باشند. در بین روش‌های مختلف تولید EPD یک روش امیدبخش با مزایای زمان کوتاه تشکیل، سادگی و ارزانی دستگاهها و قابلیت پوشش دهی ایمپلنت‌های با شکل پیچیده می‌باشد. این روش یک پروسه کوپیدی است که کترنل آسان ضخامت و کیفیت پوشش‌ها از طریق تنظیمات ساده‌ی زمان رسوب نشانی، پتانسیل اعمالی و مورفولوژی پودر میسر می‌باشد.

EPD یک فرایнд دو مرحله‌ای است که معمولاً در یک سل دو الکترودی(شکل ۲-۱) انجام می‌شود. در مرحله اول ذرات باردار معلق در سوسپانسیون در اثر اعمال میدان الکتریکی به سمت الکترود با بار مخالف حرکت کرده(الکتروفورسیس) و در مرحله بعد ذرات در الکترود رسوب کرده و فیلم نسبتاً متراکم و یکنواختی ایجاد می‌کنند(رسوب نشانی)[۶]. با توجه به الکترودی که پوشش در آن ایجاد می‌شود، دو نوع رسوب نشانی الکتروفورتیک می‌تواند وجود داشته باشد. زمانی که ذرات به صورت مثبت باردار می‌شوند، رسوب در کاتد ایجاد می‌شود و فرآیند رسوب نشانی الکتروفورتیک کاتدی نامیده می‌شود. رسوب ذرات با بار منفی در آند انجام می‌شود و فرآیند رسوب نشانی الکتروفورتیک آندی نامیده می‌شود. با تغییر مناسب بار سطحی ذرات، هر یک از دو نوع رسوب نشانی را می‌توان اجرا نمود[۸].

<sup>1</sup> Dip coating

<sup>2</sup> Ion sputtering